

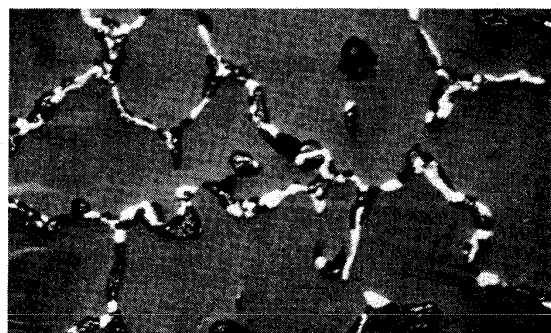
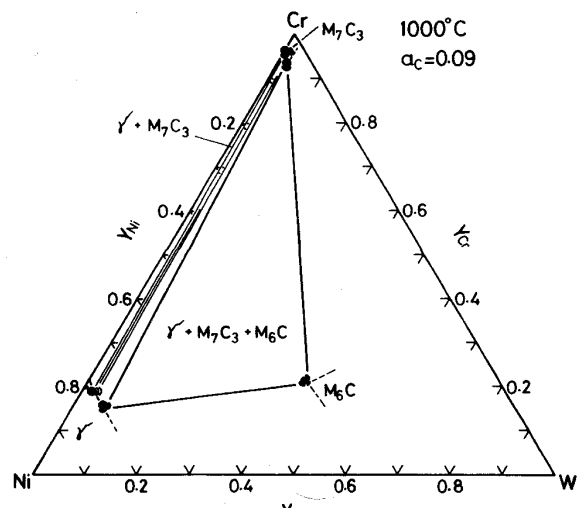
(719) Ni-Cr-W-C四元系における等温等炭素活量断面図  
(Ni-Cr-W-C四元系の平衡状態に関する研究-III)東京工業大学大学院 梶原 正憲 角屋 好邦 武田 修一  
東京工業大学工学部 菊池 実 田中 良平

1. 目的 著者らはNi-Cr-W三元系に関すると同様にNi-Cr-W-C四元系の平衡状態に関する系統的な研究を進めており、前報<sup>1)</sup>では1100°Cにおける2種類の炭素活量のNi-Cr-W-C四元系等温等炭素活量断面図について、前報<sup>2)</sup>では同四元系におけるfcc-Ni固溶体(γ相)中の炭素固溶量と生成炭化物について報告した。本報告では相平衡の立場から1000°Cおよび前報<sup>1)</sup>におけるよりも炭素活量の低い1100°CのNi-Cr-W-C四元系等温等炭素活量断面図を実験的に決定した。

2. 実験方法 10種類の組成のNi-Cr-W合金を用い前報<sup>1)</sup>と同様にカプセル浸炭平衡法により、1100°Cで1種類、1000°Cで3種類の異なる炭素活量を持つ合計約40種類のNi-Cr-W-C四元系平衡化合金を作成した。浸炭平衡化は1100°Cで1700h、1000°Cで2800hおよび10000h行った。試料の組織観察、炭化物の同定および各相の金属元素濃度分析も前報<sup>1)</sup>と同様の方法で行った。

3. 実験結果 1000°C、炭素活量  $a_C = 0.09$ において平衡化したNi-Cr-W-C四元合金の代表的な金属組織を写真1に示す。この写真で黒いコントラストを示す炭化物は  $M_7C_3$  であり、白いコントラストのそれは  $M_6C$  である。母相はγ相である。試料を構成する各相の組成をEPMAを用いた定量分析によって決定し、1000°Cおよび1100°CにおけるNi-Cr-W-C四元系等温等炭素活量断面図を作成した。1000°C、 $a_C = 0.09$ における断面図を図1に示す。1000°Cでγ相と平衡する炭化物は以下のように変化する。

- (1)  $a_C = 0.09$ においてCr濃度の高い領域では  $M_7C_3$  が、W濃度の高い領域では  $M_6C$  が現われ、中間の組成ではこの2種類の炭化物が現われる。  
 (2) 炭素活量が0.09よりも高くなると  $M_6C$  中のCrの固溶量が増大し、この結果(γ+ $M_6C$ )二相領域は高Cr濃度側へ拡大し、γ相単相領域は狭くなる。  
 (3) 炭素活量が0.35に増加すると  $M_2C$  が現われる。  
 (4) 0.35を超えるある一定の炭素活量で(γ+ $M_7C_3$ + $M_2C$ + $M_3C_2$ )四相平衡が現われ、さらに炭素活量が大きくなると  $M_7C_3$  は消失することが前報<sup>1)</sup>の1100°Cの結果から推論できる。  
 (5) 合金中のWは高い炭素活量まで  $M_{23}C_6$  を安定化させ  $a_C = 0.05 \sim 0.09$  の間で(γ+ $M_7C_3$ + $M_6C$ + $M_{23}C_6$ )四相平衡が現われることが推論できる。

写真1 Ni-20Cr-21W (1000°C,  $a_C = 0.09$ ) 合金の反射電子組成像図1 1000°C,  $a_C = 0.09$ におけるNi-Cr-W-C四元系等温等炭素活量断面図

- 1) 菊池, ほか: 鉄と鋼, 64(1978), S948  
 2) 菊池, ほか: 鉄と鋼, 65(1979), S904